## Microvascular fluid exchange and the revised Starling principle

## Транскапиллярный обмен жидкости и пересмотр принципа Старлинга

J.Rodney Levick & C.Charles Michel

Cardiovascular Research (2010)87,198-210 doi:10.1093/cvr/cvq062

\* Corresponding author. Tel: +44 14818823452, Email: c.c.michel@imperial.ac.u

1Physiology, Basic Medical Sciences, St George's Hospital Medical School, London SW 170 RE, UK; and 2Department of Bioengineering, Imperial College, Exhibition Road,

LondonSW72AZ,UK

Received30November2009; revised4February2010; accepted18February2010; onlinepublish-ahead-of-print3March2010

Перевод Горячев А.С.

#### Сокращения и обозначения

nm — нм =  $10^{-9}$ м — нанометр (миллимикрон) миллиардная часть метра или тысячная часть микрона  $\mu$ m — мкм, мк =  $10^{-6}$ м — микрометр (микрон) миллионная часть метра или тысячная часть миллиметра

mM – миллимоль на литр

ISF – интерстициальная жидкость

КОД (СОР) коллоидно осмотическое давление

σ коэффициент отражения Ставермана

πр – осмотическое давление плазмы

πі – осмотическое давление интерстиция

Рс – гидростатическое давление в капиллярах

Рі – гидростатическое давление в интерстиции

J(v) (поток) транскапиллярный обмен жидкостью

Lp – проницаемость стенки капилляра для жидкости (hydraulic conductivity of the capillary wall)

 $\Sigma \sigma_n \Delta \Pi_n$  — сумма различий в осмотическом давлении между плазмой и интерстицием

AVR – ascending vasa recta восходящая прямая вена (в почках)

А – единица площади эндотелия

Js – скорость поступления растворенных веществ

Сі – концентрация белка плазмы в ISF,

## Абстракт

Транскапиллярный обмен жидкостью (поток J(v)) лежит в основе баланса плазмы и интерстициальной жидкости (ISF) и отека тканей. Традиционная форма принципа Старлинга должна быть изменена в свете понимания роли давления ISF и признания гликокаликса полупроницаемым слоем эндотелия. Совокупность фактических данных и прямых наблюдений показывает, что реабсорбция жидкости в капилляры в большинстве тканей носит временный характер; а в стабильном состоянии (steady state) преобладает незначительная фильтрация, даже в венулах. Отчасти это объясняется обратной зависимостью между скоростью фильтрации и концентрацией белка в ISF; Коллоидно-осмотическое давление в ISF повышается при снижении J(v). В некоторых специализированных тканях (например, в почках, слизистой оболочке кишечника) реабсорбция жидкости поддерживается местными механизмами, которые вымывают интерстициальные белки плазмы в лимфатическую систему. Низкая скорость фильтрации и лимфообразования в большинстве тканей может быть объяснена постоянными градиентами

содержания белков плазмы в межклеточной щели непрерывных капилляров (модель гликокаликса) и вокруг внутриклеточных транспортных каналов. Узкие промежутки в местах межклеточных соединений создают высокие локальные скорости вытекающей жидкости, которые вызывают нарушение равновесия между КОД (СОР) субгликокаликсного пространства и КОД (СОР) в интерстиции (ISF). Недавние эксперименты подтверждают, что влияние КОД (СОР) в интерстиции (ISF) на J(v) намного меньше, чем предсказывается традиционным принципом Старлинга, что согласуется с современными моделями. Используя модель двухпористой системы, мы также исследуем, как относительно небольшое увеличение количества крупных пор резко увеличивает J(v) во время острого воспаления.

Keywords Starling principle, Glycocalyx, Fluid exchange

#### 1. введение

Плазма, интерстициальная жидкость (ISF) и лимфатические сосуды взаимосвязаны, и в стабильном состоянии (steady state) жидкость непрерывно поступает из одного компартмента в другой. Лимфа возвращается в систему кровообращения, главным образом, через главные вены у основания шеи. Случайные лимфатические свищи на шее указывают на то, что общий лимфоток после удаления узлов у человека достигает 4 л/сут. (по Гайтону 2л) Более поздние исследования показали, что примерно половина жидкости, поступающей в лимфатические узлы, поглощается микрососудами лимфатических узлов, [1,2] что увеличивает циркуляцию жидкости до 8 л в день.[3] Это значительный объем циркуляции жидкости; поскольку объем плазмы крови человека составляет всего 3 л, весь объем плазмы (за исключением белков) покидает кровоток примерно раз в 9 ч. Значительное перемещение жидкости между плазмой и интерстицием приводит к быстрому отеку сильно воспаленных тканей (в течение нескольких минут), а также к отечному набуханию при венозном тромбозе, сердечной недостаточности, и лимфатической недостаточности в течение нескольких часов или дней. И наоборот, спонтанно формирующаяся гемодилюция после острого кровотечения свидетельствует о быстром всасывании интерстициальной жидкости (ISF) в кровоток (0,5 л за 15-30 минут). Быстрое перемещение жидкости из интерстиция в кровеносное русло важно с медицинской точки зрения, поскольку объем плазмы является основным фактором, определяющим давление наполнения сердца и, следовательно, сердечный выброс (закон Франка-Старлинга). Фундаментальный принцип, регулирующий такие перемещения жидкости между капилляром и интерстицием, был сформулирован Старлингом [4] в 1896 году. Исследование Старлинга [4] показало, что изотонический физиологический раствор, введенный в интерстициальный отдел задней конечности собаки, попал в венозную кровь, которая стала гемодилютированной; но при введении сыворотки, а не физиологического раствора, жидкость не всасывалась. Поэтому Старлинг предположил, что стенки капилляров (и посткапиллярных венул) представляют собой полупроницаемые мембраны. Следовательно, движение жидкости через стенки капилляров зависит от общего дисбаланса между осмотическим давлением всасывания белков плазмы [коллоидно-осмотическим давлением КОД (СОР)] и гидравлическим давлением в капиллярах, создаваемым работой сердца. Старлинг также признал, что, поскольку ISF содержит белки плазмы, микрососудистая полупроницаемость является недостаточной; эндотелиальный барьер медленно «пропускает» белки плазмы в интерстиций. Степень утечки определенного растворенного вещества может быть выражена количественно с помощью коэффициента осмотического отражения Staverman [5] «σ» значение которого варьируется от 0 до 1; единица означает идеальное, 100%-ное отражение и, следовательно, отсутствие утечки указанного растворенного вещества. Для мембраны (проницаемой только для растворителя), разделяющей растворы одного и того же вещества в двух разных концентрациях, [5,6] следует, из принципов необратимости термодинамики что:

 $Jv/A = Lp\{\Delta P - \sigma \Delta \pi\}, \qquad (1a)$ 

где Jv - объемная скорость фильтрации на единицу площади эндотелия A,  $\Delta P$  — разница в гидростатическом давлении, а  $\Delta \Pi$  - разница в осмотическом давлении на мембране. Плазма и ISF содержат много растворенных веществ (разновидностей 'n'). Lp — проницаемость стенки

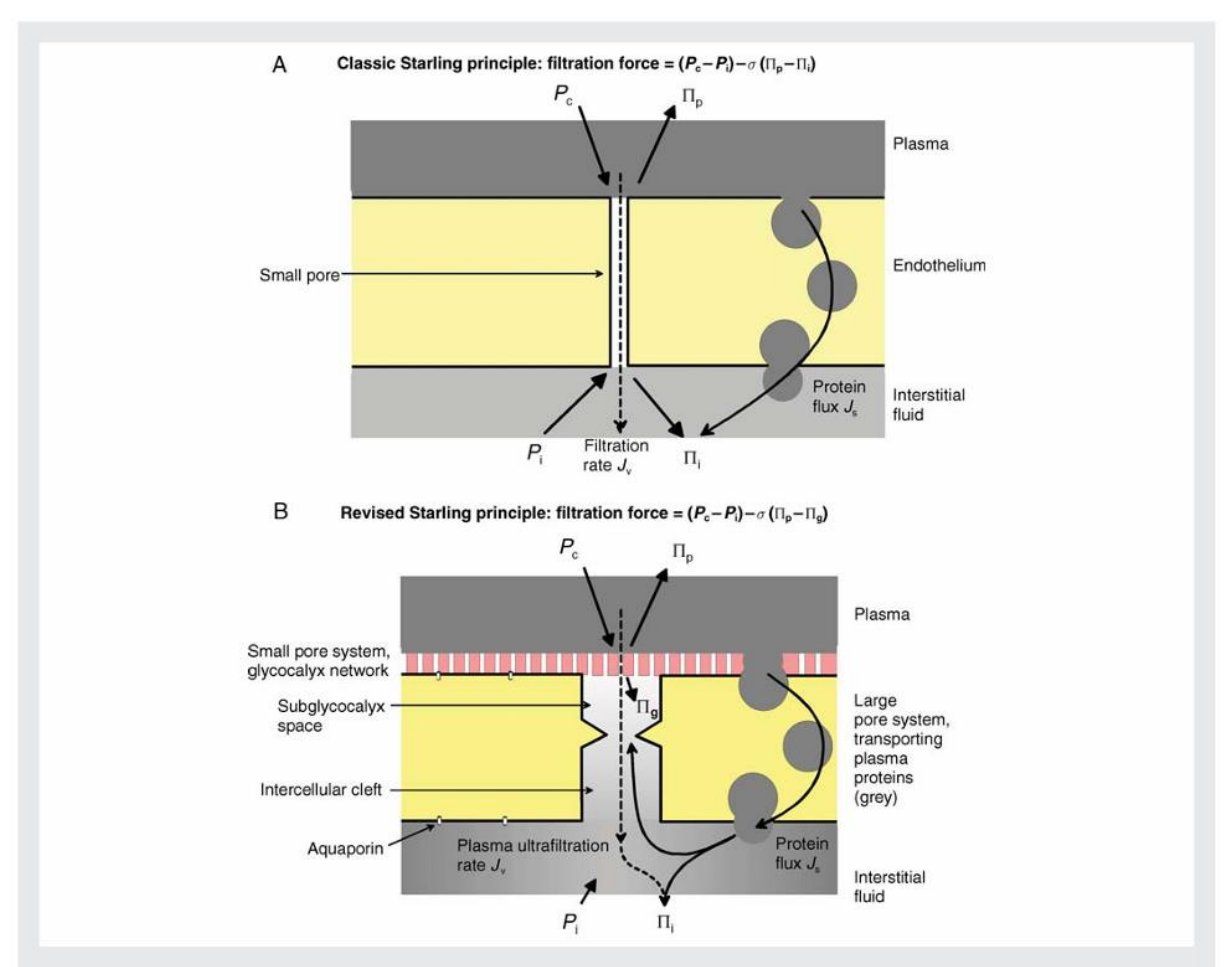
капилляра для жидкости. Следовательно, для описания движения жидкости через промежуточную стенку капилляра уравнение (1a) следует записать в виде:

$$Jv/A = Lp\{\Delta P - \sum \sigma_n \Delta \pi_n\}, \quad (1b)$$

где  $\Sigma$   $\sigma_n \Delta \Pi_n$  представляет собой сумму различий в осмотическом давлении, оказываемом на стенки сосуда всеми растворенными веществами в плазме и ISF. В уравнении (1b)  $\Delta P$  представляет собой разницу между местным капиллярным кровяным давлением Pc (уменьшающимся с увеличением расстояния по оси) и гидростатическим давлением в ISF, — Pi. В большинстве капилляров только высокомолекулярные растворенные вещества (коллоиды) значительно отличаются по концентрациям между плазмой и интерстицием (ISF), а для кристаллоидов значение  $\sigma$  равно 0,1 или менее. В этих условиях Jv может быть приблизительно описана уравнением. (1a), где  $\sigma \Delta \Pi$  — это разница между эффективным осмотическим давлением, создаваемым макромолекулами КОД (СОР) в плазме ( $\Pi$ p), и в ISF ( $\Pi$ i) (рис. 1A). Это приводит к общепринятому выражению

$$Jv/A = Lp\{(Pc - Pi) - \sigma(\pi p - \pi i)\}.$$
 (1c)

Если  $\sigma$  имеет значение, близкое к 1,0, а Рі и  $\pi$ і близки к нулю, как в экспериментальных исследованиях, уравнение (1c) суммирует классические наблюдения Landis [7], Pappenheimer и Soto-Rivera [8], исследования которых, как правило, рассматриваются как подтверждающие гипотезу Старлинга. Путем измерения, преобладающего Рс путем прямой микропункции в отдельных капиллярах брыжейки лягушки и оценки соответствующих скоростей фильтрации и реабсорбции с помощью оценки изменения концентрации эритроцитов Landis смог продемонстрировать линейную зависимость между Jv и Рс для группы сосудов. Используя изолированные перфузированные задние конечности кошек и собак, Pappenheimer и Soto-Rivera оценили среднее значение Рс в тканях по артериальному и венозному давлению и сосудистому сопротивлению. Они смогли изменять среднее значение Рс и продемонстрировали линейную корреляцию со скоростью фильтрации/реабсорбции жидкости, оцениваемой по изменению веса конечностей. Landis [9] также показал, используя микропипетки, введенные в капилляры кожи в складке ногтя человека на уровне сердца, что кровяное давление в капиллярах падает с 45-35 mmHg на артериальном конце до ≥12-15 mmHg на венулярном конце (в зависимости от температуры кожи [10,11]). Это подтвердило простую картину симметрии обмена жидкостью, впервые предложенную Старлингом. [12]. Картина такова, что, поскольку Рс превышает  $\pi$ р (25-28 mmHg у человека) в артериальной половине капиллярного русла на уровне сердца, здесь происходит фильтрация жидкости; и это уравновешивается реабсорбцией в венозной половине, где Рс падает ниже  $\pi$ р. Концепция была разработана Landis и Pappenheimer [13], и хотя они осторожно отметили, что «*с равной или большей степенью свободы* (курсив наш) можно нарисовать капилляры и лимфатические узлы конечности», это предостережение было в значительной степени проигнорировано, и модель стала широко воспроизводиться как установленный факт (рис. 2A, левая панель). Однако это утверждение не было основано на измерениях в какой-либо одной ткани, поскольку в то время не были доступны современные методы измерения важных показателей Рі и  $\pi$ і в тканях кожи человека. [14] За последние 25 лет стало ясно, что традиционная модель не описывает обмен жидкости в реальной микроциркуляции, потому что в интерстиции (i) как Pi, так и  $\pi$ i меняются при изменении Jv; и (ii) жидкость непосредственно за полупроницаемой мембраной (субгликокаликсная жидкость, см. ниже) может иметь состав, заметно отличающийся от интерстициальной жидкости (ISF). В этом кратком обзоре мы сначала рассмотрим данные, относящиеся к традиционной стационарной (steady state) модели фильтрации-реабсорбции. Затем приведем эксперименты, показывающие различие между линейной, преходящей (transient) зависимостью обмена жидкости от давления и нелинейной, стационарной (steady state) зависимостью. Далее следует обзор изменений, произошедших в результате признания гликокаликса полупроницаемым слоем, покрывающим внутреннюю стенку капилляра. Более подробный обзор физиологии эндотелия см. в статье Levick.[15]



**Figure 1** Comparison of traditional and revised views of the endothelial semipermeable membrane and the forces acting on it. (A) Traditional view of continuous endothelium as a semipermeable membrane. (B) The glycocalyx–cleft model identifies glycocalyx as a semipermeable layer. Its underside is subjected to the COP of fluid high inside the intercellular cleft rather than ISF, with important functional consequences. Symbols defined in main text. Grey shade denotes concentration of plasma protein.

Рисунок 1. Сравнение традиционного и пересмотренного представлений об эндотелиальной полупроницаемой мембране и действующих на нее силах. (А) Традиционное представление о непрерывном эндотелии как о полупроницаемой мембране. (В) Модель гликокаликса—просветов между клетками эндотелия определяет гликокаликс как полупроницаемый слой. Его нижняя сторона подвергается воздействию КОД (СОР) жидкости, находящейся высоко в межклеточной щели, а не в межклеточном пространстве, что приводит к важным функциональным последствиям. [80,82] Символы указаны в основном тексте. Серый оттенок обозначает концентрацию белка в плазме.

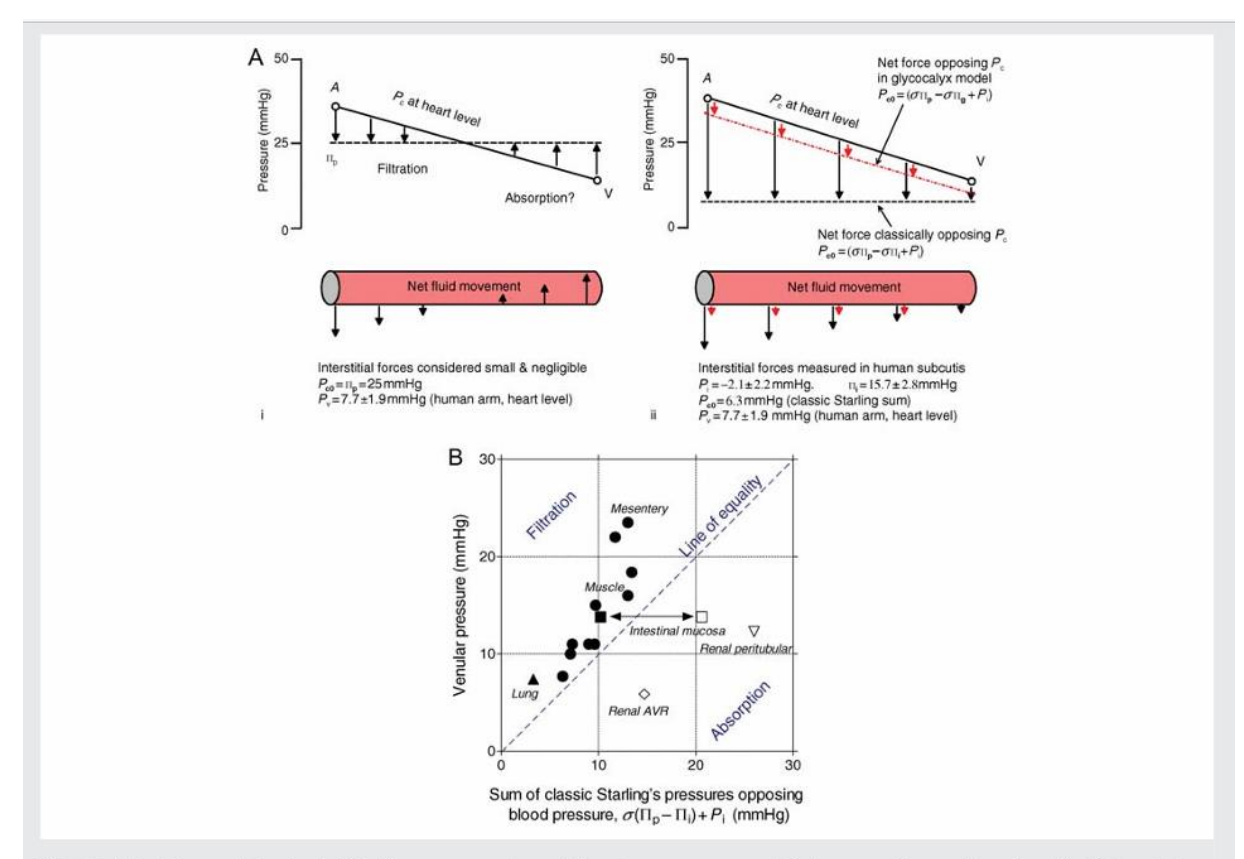


Figure 2 Imbalance of the classical Starling pressures when all four terms are measured in the same tissue and species. (A) Left panel shows the traditional filtration—reabsorption model; interstitial terms are considered negligible. Right panel shows the imbalance when all four classic Starling forces are measured in human skin and subcutis at heart level. Black arrows indicate net force imbalance and hence the direction and the magnitude of fluid exchange are based on the four classic forces. Dot-dashed line (red) illustrates qualitatively the much smaller net filtration force predicted by the glycocalyx—cleft model. For symbols see text. (B) Sum of three classic Starling forces opposing microvascular blood pressure ( $P_{c0} = \sigma \Pi_p - \sigma \Pi_1 + P_i$ ) plotted against the lowest microvascular blood pressure in different tissues ( $P_c$ ). Each point is based on measurements in the same tissue and species except the intestine (square symbols), where  $P_c$  value from rats are plotted against values  $P_{c0}$  derived from cats. Closed square is non-absorbing intestine; open square is during water absorption from gut lumen.  $P_{c0}$  is capillary pressure at which the classic net filtration force would be zero. If venular pressure exceeds  $P_{c0}$  (i.e. lies above the line of equality), venules and venous capillaries are in a state of filtration. Data from many laboratories.

Рис. 2. Дисбаланс классического давления Старлинга, когда все четыре фактора измеряются в одной и той же ткани. (А) Левая панель показывает традиционную модель фильтрации— реабсорбции; промежуточные факторы считаются незначительными. Правая панель показывает дисбаланс, возникающий при измерении всех четырех классических сил Старлинга в коже и подкожной клетчатке человека на уровне сердца.[18] Черные стрелки указывают на суммарный дисбаланс сил, и, следовательно направление и величина обмена жидкости зависят от четырех классических сил. Пунктирная линия (красная) иллюстрирует значительно меньшую суммарную силу фильтрации, предсказанную моделью гликокаликса-межклеточных промежутков. Условные обозначения приведены в тексте. (В) Сумма трех классических сил Старлинга,

противодействующих капиллярному давлению крови ( $Pc0=\sigma \pi p - \sigma \pi i + Pi$ ), построенная на основе наименьшего микрососудистого кровяного давления в различных тканях (Pc). Каждая точка основана на измерениях в тех же тканях и у того же вида животных, за исключением кишечника (квадратики на схеме B), где значение Pc у крыс сопоставляется со значениями Pc0, полученными у кошек. Закрашенный квадратик означает кишечник, не реабсорбирующий жидкость; незакрашенный квадратик — это всасывание воды из просвета кишечника. Pc0 - капиллярное давление, при котором классическая чистая фильтрационная сила равна нулю. Если давление в венулах превышает Pc0 (т.е. находится выше линии равенства), венулы и венозные капилляры находятся в состоянии фильтрации. Данные из многих лабораторий.[19]

# 2. Традиционная модель фильтрации и реабсорбции в сравнении с другими моделями давлений Старлинга, измеренное в определенных тканях: данные о сумме сил

Поначалу незаметно возникли сомнения в правильности модели фильтрации – реабсорбции. В ходе исследования брыжеечных и сальниковых капилляров кроликов с использованием метода Landis для мониторинга жидкостного обмена по концентрации эритроцитов, Zweifach и Intaglietta [16] кратко отметили: «На сегодняшний день у нас нет данных... о сосудах, в которых постоянно наблюдалась обратная фильтрация (т.е. реабсорбция)». Десять лет спустя Levick и Michel [10] задокументировали, как давление в капиллярах кожи человека увеличивается с увеличением расстояния ниже уровня сердца, хотя это давление и частично компенсировано постуральной вазоконстрикцией прекапиллярных сосудов; и они указали, что баланс тканевой жидкости не может поддерживаться за счет реабсорбции в коже более чем на ≈10 см ниже уровня сердца, поскольку Рс в венозных капиллярах тогда превышает  $\pi$ р. [10,17] В кожных капиллярах над сердцем Рс не уменьшается аналогичным образом, поскольку поверхностные вены колабируются, и Рс становится независимым от высоты над уровнем сердца.[9] Вопрос о балансе сил, действующих в кожных капиллярах человека на уровне сердца, был рассмотрен Bates et al. [18], которые измерили межклеточные расстояния, используя вставленные мерки (inserted wicks). Это позволило рассчитать сумму всех четырех давлений Старлинга. Они обнаружили, что из-за субатмосферной величины Pi (– 2mmHg) и значительной величины πi (15,7 mmHg) в кожных венозных капиллярах или венулах на уровне сердца не было суммарной реабсорбирующей силы; на уровне сердца ( $\Delta P > \sigma \Delta \Pi$ ) (рис. 2A, правая панель). Обзор литературы выявил аналогичную ситуацию в 14 различных тканях/видах, включая скелетные мышцы (≈ 40% массы тела) и легкие, ткани с наименьшим Рс (рис. 2В). Важно отметить, что, поскольку давления Старлинга различаются в разных тканях, корректная сумма усилий требует измерения всех четырех сил для каждой ткани. [19] Отсутствие суммарной реабсорбирующей силы в нижележащих сосудах в стационарном состоянии (steady state) соответствует теоретическим ожиданиям, поскольку большая  $\Delta \pi$  развивается только в тканях с высокой скоростью фильтрации (см. далее). На основе современной модели гликокаликса-межклеточных промежутков, Пі не является правильным термином для использования в расчетах суммарной силы (это должно быть КОД(СОР) под гликокаликсом,  $\pi_g$ , см. ниже). Однако вывод, об отсутствии суммарной реабсорбирующей силы в венозном конце капилляра в стационарном состоянии (steady state) остается в силе, поскольку реабсорбция повысила бы внесосудистое значение  $\pi$  и, таким образом, усилило бы аргумент о сумме сил.

# 3. Реабсорбция наблюдается временно, но не в устойчивом состоянии (steady state) при капиллярном давлении ниже плазменного.

Традиционная стационарная (steady state) модель фильтрации—реабсорбции была протестирована непосредственно Michel и Phillips. [20] Они использовали усовершенствованный Landis метод оценки разведения эритроцитов для измерения направления и скорости обмена жидкости в перфузируемых одиночных капиллярах брыжейки лягушки в двух различных условиях. В одной серии экспериментов Рс резко поднимали или опускали, и сразу после изменения измеряли жидкостный обмен; внесосудистым силам не давалось времени измениться. Во второй серии экспериментов Рс поддерживали постоянным в течение по меньшей мере 2 мин (а обычно и дольше) перед измерением скорости фильтрации или реабсорбции при том же значении Рс [стационарный режим (steady state)]. Как и в исследовании Landis [7], в переходных (transient) экспериментах наблюдалась линейная зависимость между Jv/A и Рс, при этом реабсорбция жидкости происходила в переходный (transient) период, когда значение Рс было снижено ниже о Пс. Однако в установившемся режиме (steady state) наблюдалась совершенно иная зависимость

(рис. 3A). Когда Рс превышал σπр, скорость фильтрации снова линейно увеличивалась вместе с Рс; но, когда Рс был ниже σπр, реабсорбция в стационарном состоянии (steady state) не происходила — в отличие от традиционной модели реабсорбции ниже по потоку (в венозном конце капилляра) или в переходном (transient) состоянии. Эти наблюдения были подтверждены как на брыжеечных сосудах лягушки, так и крысы [21], и аналогичные результаты были получены при исследовании фильтрации/реабсорбции через эндотелий, культивируемый в слое, в камере типа Ussing.[22] Таким образом, капилляры с низким кровяным давлением могут реабсорбировать жидкость временно, но не в постоянном состоянии (steady state) (важным примером являются легкие) — в соответствии с данными о сумме сил, представленными ранее. Почему обычно это так происходит? Причина в том, что на устойчивое состояние (steady state), помимо принципа Старлинга, влияет дополнительный принцип, а именно связь концентрации внесосудистого плазменного белка (и, следовательно, πі) со скоростью фильтрации в капиллярах. Кроме того, в некоторых тканях, таких как легкие и подкожная клетчатка, Рі увеличивается нелинейно с увеличением объема ISF вслед за увеличением Jv/A. [14]

# 4. Обратная зависимость перикапиллярного КОД (СОР) от скорости фильтрации ограничивает реабсорбцию в большинстве тканей временным состоянием

Согласно обзору Taylor и Granger, [23] в стационарном состоянии (steady state) концентрация белка плазмы в ISF, Сі (определяющая  $\pi$ і), не является фиксированной величиной, а обратно пропорциональна скорости фильтрации в капиллярах; смотрите кривую внесосудистого разведения на рисунке 3В, правая панель. [24] Это связано с тем, что ISF постоянно обновляется, а Сі определяется динамически по скорости поступления растворенных веществ, Јs, относительно скорости поступления воды, Jv.

Ci = Js/Jv . (2)

Уже более 120 лет известно (см. Cohnheim [25]), что повышение скорости капиллярной фильтрации «разбавляет» макромолекулы ISF и лимфы. [3,26] Здесь мы сталкиваемся с непростой ситуацией; Ју частично зависит от концентрации экстракапиллярного белка [4] [Уравнение (1а–с)]; но концентрация экстракапиллярного белка зависит частично от Jv [кривая внесосудистого разведения, уравнение (2)]. Разделив стандартное уравнение конвекции –диффузии для переноса макромолекул (Js) на Jv, Michel [27] вывел выражение для Сі и, следовательно, Пі исходя из Jv. Затем это выражение было заменено на уравнение (1с) для прогнозирования установившегося(steady-state) соотношения между Jv и Рс. Полученное в результате несколько сложное выражение [уравнение (3)] описывает кривую, которая соответствует данным об обмене жидкости в легких [28] и конечностях человека [29] и близко соответствует результатам Michel и Phillips [20] в устойчивом состоянии (steady-state), без какой-либо устойчивой реабсорбции даже

при 
$$Pc \ll \sigma \pi p$$
 (Рисунок ЗА): 
$$\frac{J_{v}}{A} = L_{p} \left[ \Delta P - \sigma^{2} \Pi_{p} \frac{(1 - e^{-Pe})}{(1 - \sigma \cdot e^{-Pe})} \right], \tag{3}$$

не перейдет на режим слабой фильтрации, после чего будет достигнут новый устойчивый (steady state) режим. Вместо того чтобы математически решать уравнения Старлинга и внесосудистого разведения, можно вывести линейное переходное соотношение Старлинга [Jv против  $\Pi$ і для данного Рс, уравнение (1c)] и кривая разведения в интерстиции [Сі и, следовательно,  $\pi$ і по сравнению с Jv, уравнение (2)] на том же графике, что и на рисунке 3В. Точка пересечения – это установившееся значение равновесия (steady state). Пересечение всегда является положительным значением Jv, даже если Рс приближается к нулю. [19] Ввиду связанности  $\pi$ i с Jv, устойчивая (но не временная) реабсорбция в венозных капиллярах и венулах в большинстве тканей маловероятна. Как кратко отметил сам Старлинг [4], «При снижении капиллярного давления будет происходить осмотическая реабсорбция солевого раствора из внесосудистой жидкости до тех пор, пока она не станет богаче протеидами (рис. 3Б, левая панель); и разница между осмотическим давлением протеидов и внутрисосудистым давлением плазмы равна уменьшенному капиллярному давлению». Пожалуй, самым удивительным открытием Michel и Phillips [20] стала скорость, с которой установился устойчивый режим обмена жидкости. В других тканях постоянная времени значительно больше, составляя порядка десятков минут для микрососудов в скелетных мышцах крупных млекопитающих. [8] Это может быть связано с тем, что различия в архитектуре перикапиллярных пространств позволяют градиентам концентрации белка развиваться в одних тканях быстрее, чем в других (см. ниже). Кроме того, на скорость изменений могут влиять аквапорины (поры в мембранах эндотелиальных клеток, пропускающие только воду), которые могут вносить значительный вклад в уровень Lp в микрососудах скелетных мышц [30-32] (см. далее).

# 5. Исключения из правила "отсутствие устойчивой реабсорбции": влияние локального транспорта эпителия

Существуют физиологически важные исключения из правила «отсутствия постоянной реабсорбции». В почках жидкость постоянно реабсорбируется в перитубулярные капилляры в корковом веществе и восходящих сосудах медуллярного вещества (ascending vasa recta AVR) почек. В кишечнике во время всасывания воды жидкость непрерывно всасывается капиллярами слизистой оболочки. В лимфатических узлах капилляры непрерывно забирают жидкость из притекающей предузловой лимфы (см. ранее). Как этим сосудам удается нарушать правило? В лимфатических узлах ISF постоянно замещается предузловой лимфой с низкой концентрацией белка. В почках и кишечнике ISF обновляется независимым потоком жидкости, не содержащей белка, которая выделяется соседними эпителиальными клетками. Быстрое обновление ISF нарушает обратную связь между Jv и  $\pi$ i [Уравнение. (2)] и часто сопровождается повышением Рi. Когда это объяснение было впервые предложено, [27] казалось, что оно согласуется с данными по тонкой кишки и перитубулярным капиллярам коры почек. В этих тканях белок, попадающий в ISF из плазмы, выводится эпителиальными выделениями в местную лимфатическую систему. Однако в отношении почечных AVR (восходящая прямая вена) эта теория была менее однозначной, поскольку до сих пор не было продемонстрировано оттока лимфы из медуллярной ISF почек (см. ниже). Следует отметить, что в микрососудах, в которых поддерживается стабильная реабсорбция, эндотелий отличается от эндотелия капилляров в коже, мышцах и соединительной ткани.

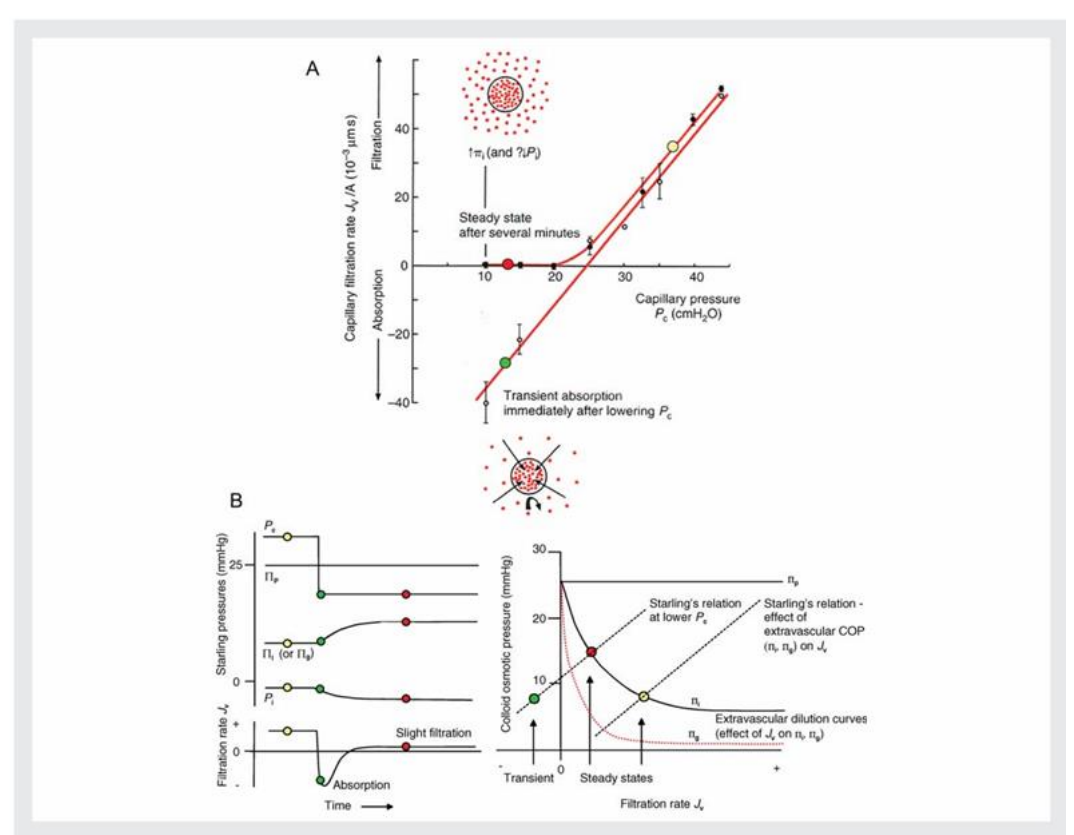


Figure 3 Direct observation of direction of fluid exchange in capillaries in which  $P_c$  is maintained below  $\Pi_p$ . (A) Comparison of fluid exchange immediately after raising or lowering  $P_c$  (transient state) and after  $P_c$  has been held constant for several minutes (steady state). Measurements made on single frog mesenteric capillaries perfused in situ with a Ringer solution plus serum albumin and the macromolecule Ficoll 70 ( $\Pi_p = 32 \text{ cmH}_2\text{O}$ ). When  $P_c$  was lowered from 30 to 10–15 cmH<sub>2</sub>O, a risk uptake of fluid into the capillary was observed (e.g. green point on transient relation). If the vessel was now perfused with  $P_c$  held constant in this range (10–15 cmH<sub>2</sub>O), absorption attenuated and after several minutes could no longer be detected (red point on steady-state curve). <sup>20</sup> Insets illustrate concentration of pericapillary plasma protein (dots) following transient water absorption (long thin arrows) and interstitial plasma protein reflection (thick curved arrow). (B) Explanatory sketches. Left panel shows how extravascular Starling forces change with time (transient state) when  $P_c$  is lowered below  $\Pi_p$ , until a new steady state is reached. In intact tissues (cf. superfused mesentery), the absorption phase probably lowers  $P_i$  as well as raising pericapillary  $\Pi_p$ , further cancelling the net absorptive term. Right panel shows how the intersection of the Starling and extravascular dilution relations determines the steady state. The curvilinear ISF relation<sup>23,24,100</sup> describes the effect of filtration on ISF COP  $\Pi_i$  (red line indicates corresponding  $\Pi_g$ ), while the linear, Starling's relation describes effect of extracapillary COP on filtration. Note that the latter relation is plotted contrary to convention, with the independent variable  $\Pi_i$  on the y-axis and dependent variable  $I_v$  on the x-axis.

Рисунок 3. Прямое наблюдение направления обмена жидкости в капиллярах, при котором Рс поддерживается на уровне ниже πр. (А) Сравнение обмена жидкости сразу после повышения или снижения Pc (переходное состояние (transient state) и после того, как Pc поддерживался постоянным в течение нескольких минут (устойчивое состояние (steady state). Измерения проводились на отдельных брыжеечных капиллярах лягушки, перфузированных in situ раствором Рингера с добавлением сывороточного альбумина и макромолекулы Ficoll 70 (πр 32 смH₂O). При снижении Рс с 30 до 10-15 смH₂O наблюдалось быстрое поступление жидкости в капилляр (например, зеленая точка на временном соотношении). Если сосуд теперь перфузировался при Рс, в постоянном диапазоне (10-15 смН<sub>2</sub>О), реабсорбция ослабевала и через несколько минут уже не могла быть обнаружена (красная точка на кривой стационарного состояния (steady state). [20] На вставках показана концентрация перикапиллярного белка плазмы (точки) в зависимости от временного поглощения воды (длинные тонкие стрелки) и отражения внутритканевого белка плазмы (толстая изогнутая стрелка). (В) Пояснительные рисунки. На левой панели показано, как со временем изменяются внесосудистые силы Старлинга (переходное состояние (transient state), когда Рс снижается ниже  $\pi$ р, пока не будет достигнуто новое устойчивое состояние (steady state). В интактных тканях (капилляры брыжейки), фаза всасывания, вероятно, снижает Рі, а также повышает перикапиллярный πр, что еще больше снижает показатель чистого всасывания. На правой панели показано, как пересечение коэффициентов Старлинга и внесосудистого разведения определяет устойчивое состояние. Криволинейное соотношение ISF [23,24,100] описывает влияние фильтрации на КОД (COP) в ISF (πi) (красная линия указывает на соответствующий  $\pi_{
m g}$ ), в то время как линейное соотношение Старлинга описывает влияние экстракапиллярного КОД (СОР) на фильтрацию. Обратите внимание, что последнее соотношение построено вопреки общепринятому правилу, с независимой переменной  $\pi$ i на оси «Y» и зависимой переменной Jv на оси «Х».

#### 5.1 Слизистая оболочка кишечника

Хотя 70% кровотока в подвздошной кишке крысы поступает через слизистую оболочку, прямые измерения давления в микрососудах показали, что Pc в фенестрированных капиллярах слизистой оболочки с значительно ниже Pc в непрерывных капиллярах круговой и продольной гладкой мускулатуры. [33] У кошек лимфоток в кишечнике увеличивается, а концентрация белка в нем снижается по мере всасывания жидкости из просвета тонкой кишки. [34] В нереабсорбирующих зонах подвздошной кишки среднее значение лимфатического давления πL КОД (СОР) составляло 10 mmHg, тогда как при быстром всасывании жидкости πL снижалось до 3 mmHg. Снижение πі должно быть, как столь же значительным, поскольку всасывание кишечной жидкости увеличивает локальный объем ISF, что снижает фракционное исключение сывороточного альбумина. [35] Последнее должно усиливать снижение πі. Предполагая, что (і) уровень Pc примерно одинаков в реабсорбирующем и нереабсорбирующем состояниях и (іі) аналогичные значения Pc присутствуют в капиллярах слизистых оболочек кошек и крыс, давление Старлинга через стенки капилляров изменяется от низкого уровня фильтрации, когда кишечник не всасывает жидкость, до состояния длительного всасывания жидкости, когда кишечник поглощает жидкость (рис. 2В).

Во время всасывания переваренной пищи эта простая картина может быть осложнена осмотическими градиентами, создаваемыми поглощенными мелкими растворенными веществами. При высокой скорости усвоения глюкозы разница в концентрации глюкозы на стенках капилляров на кончиках кишечных ворсинок может достигать 70 мМ. Даже если осмотическое отражение глюкозы на стенках этих сосудов составляет всего 0,01, эффективное осмотическое давление, создаваемое этим градиентом глюкозы, противостоит давлению Старлинга и превышает его на 15 mmHg [36]. Предполагается, что, поскольку поглощение глюкозы и аминокислот эпителием ограничено внешней третью ворсинок, жидкость, всасываемая здесь эпителием, может проходить через интерстиций ворсинок и попадать в обширное капиллярное русло нижних двух третей ворсинок [36] и в молочные железы.

### 5.2 Корковый слой почек

Перитубулярно-капиллярные силы Старлинга были определены в почках крыс и собак несколькими специалистами, и средние значения приведены в таблице 1 для обезвоженных крыс и для крыс с объемами ISF, увеличенными за счёт инфузии изотонического физиологического раствора. [37] У обезвоженных крыс давление Старлинга способствует всасыванию (реабсорбции) жидкости из-за относительно низких значений Рс и Пі и относительно высоких значений Рі и Пр. Местный уровень  $\pi$ р на 20-30% выше, чем в системной артериальной крови, поскольку перитубулярные сосуды снабжаются плазмой, концентрированной после клубочковой фильтрации. После увеличения ISF путем внутривенной инфузии физиологического раствора локальный уровень  $\Pi$ р снижается, а уровень Pс повышается, но общее давление, благоприятствующее поглощению жидкости, поддерживается за счет значительного увеличения Pi и дальнейшего снижения  $\pi$ i. Аналогичные наблюдения были сделаны у обезвоженных собак и собак получивших объемные инфузии. Низкая концентрация интерстициального белка плазмы, а следовательно, и  $\Pi$ і, поддерживается за счет низкой проницаемости для макромолекул перитубулярных капилляров с отверстиями (с σ для альбумин ≈ 0,99) и быстрой фильтрации безбелковой ISF через эпителий канальцев, который пропускает относительно небольшое количество белка плазмы, поступающего из кортикальной ISF, в кортикальные лимфатические сосуды.

### 5.3 Мозговое вещество почки

Жидкость, которая всасывается собирательными протоками из формирующейся мочи, непрерывно выводится из мозгового вещества путем всасывания ISF в AVR (восходящая прямая вена). Оценки давления Старлинга на стенках AVR во внутреннем мозговом веществе крыс указывают на высокие значения  $\pi$ р и Pі и низкие значения Pс и  $\pi$ і, что согласуется с высокой скоростью всасывания жидкости (таблица 1). До недавнего времени низкое значение  $\pi$ і (подразумевающее хороший клиренс белка) вызывало недоумение по двум причинам. В отличие от кортикальных перитубулярных капилляров, AVR обладают относительно высокой проницаемостью для белков плазмы; и в отличие от коркового вещества почек, лимфодренаж в мозговом веществе почек никогда не был убедительно продемонстрирован. Как у собак [38], так и у крыс [39] меченый белок плазмы достигал 85% от своей равновесной концентрации в мозговом веществе почек в течение 3 мин после его введения в кровоток. Ультраструктурные исследования показали, что ферритин, каталаза и пероксидаза могут проникать через фенестры из AVR в ISF. [40] Считалось, что пре-лимфатические каналы могут выводить ISF из медуллярного в корковый слой почек, но это не подтвердилось. [41] Относительно недавно Tenstad et al. [42] продемонстрировали, что меченый альбумин выводится из мозговой ткани непосредственно в кровь. Чтобы объяснить это, MacPhee и Michel [43] предположили, что белки могут вымываться в AVR (конвективный транспорт белков) во время всасывания жидкости следующим образом. Для того чтобы конвективный перенос белка из ISF в AVR был эффективным, σ для белков плазмы в AVR должен быть значительно меньше, чем 1. Измерения содержания σ для альбумина в одиночной перфузируемой AVR дали значения от 0,59 до 0,78, [43,44]. При о в этом диапазоне, если жидкость, поступающая в AVR, заменяется безбелковой жидкостью из собирательных трубочек, расчеты показали, что конвективный клиренс в AVR (определяемый давлением Старлинга, (таблица 1) может поддерживать оптимальный уровень о для альбумина и низкую концентрацию альбумина в ISF. [43,45] Более подробное моделирование [46,47] обеспечило дополнительное подтверждение эффективности конвективного поглощения белка в системе противоточного обмена в мозговом веществе почек. Хотя Рс в AVR обычно больше, чем окружающий Рі, возможно, что Рі может превысить Рс, если объем ISF медуллярного вещества почки быстро увеличивается. Поскольку гидравлическая проницаемость фенестрированной AVR высока (≈ 100 × 10<sup>-7</sup> см/с/смН₂О), относительно большие объемы жидкости, несущей низкую концентрацию белка, могут поступать в AVR за счет разницы трансэндотелиального гидростатического давления всего в 2-3 смН₂О. Хотя высокий Рі угрожает сдавлением AVR, было обнаружено, что эти сосуды не колабируются до тех пор, пока давление Рс не упадет более чем на 4 см  $m H_2O$  ниже атмосферного. [48] Механическая стабильность AVR, вероятно, достигается за счет прикрепления эндотелиальных клеток к базальной пластинке соседних нисходящих прямых сосудов и канальцев с помощью тонких процессов, описанных Takahashi-lwanaga.[49]

#### 6. Парадокс низкой силы фильтрации

На основании трех рассмотренных выше доказательств (сумма измеренных усилий, непосредственное наблюдение за жидкостным обменом при низком Рс и теоретические соображения), баланс тканевой жидкости в мышцах, коже, легких и многих других тканях вряд ли может быть достигнут за счет почти сбалансированной фильтрации у артериального конца капилляра и реабсорбции у венозного конца капилляра в устойчивом состоянии (steady state), как традиционно предполагалось. Таким образом, дренаж капиллярного фильтрата лимфатической системой является доминирующим фактором, ответственным за гомеостаз внутритканевого объема. [50] Однако это мнение порождает новую проблему. Как отметили Aukland и Reed [51], лимфоток, предсказанный уравнениями (1а—с) на основе измерений LpA и четырех классических сил Старлинга, часто на порядок превышает наблюдаемый лимфоток. Чтобы выразить этот парадокс по-другому, истинная, усредненная фильтрационная сила, рассчитанная исходя из

скорости выделения лимфы (≈1 mmHg во многих тканях), намного меньше, чем (Рс -Рі) -  $\sigma(\pi$ р πi), которая обычно составляет 5-10 mmHg (рис. 2B) – это расхождение слишком велико, чтобы списать его на погрешность измерения. Было предложено несколько возможных решений. В тканях с выраженной вазомоцией (циклами вазомоторного колебания тонуса артериол (например, в некоторых скелетных мышцах) фаза сокращения артериол приводит к снижению Рс в расположенном ниже по потоку капиллярном модуле [8], что приводит к кратковременному увеличению реабсорбции (рис. 3, переходная линия), за которым следует возврат к фильтрации во время фазы расслабления артериол, как впервые было предложено Chambers и Zweifach [52] и развитой в дальнейшем модели Intaglietta и Endrich. [53] В этой модели баланс жидкости является временным, а не устойчивым. Однако не все ткани демонстрируют регулярную и сильную вазомоторную активность (вазомоцию), на которой основана временная модель. Совсем недавно новые интересные данные о сложной структуре пор эндотелия помогли разрешить парадокс низкой фильтрационной способности, показав, что истинная чистая фильтрационная способность эндотелия зависит не столько от  $\Pi$ i, сколько от концентрации жидкости непосредственно под эндотелиальным гликокаликсом. В следующем разделе мы увидим, что концентрация белка в плазме крови здесь может быть значительно ниже, чем в основной массе ISF.

Cortical peritubular capillaries ( $\sigma_{ m albumin}$ =	0.99)				
Fluid balance	$\Pi_{p}$	$\Pi_i$	Pc	$P_i$	$\sigma\Delta\Pi - \Delta$
Hydropenia (mean ± SEM)	24.8 ± 1.39	$3.9 \pm 0.6$	$13.2 \pm 1.3$	$3.3 \pm 0.6$	10.0
Volume expanded (mean $\pm$ SEM)	16.6 ± 1.34	$1.3 \pm 0.18$	$19.5 \pm 2.71$	$11.5 \pm 0.78$	7.1
Ascending vasa recta of the renal medulla	$(\sigma_{\text{albumin}} = 0.7)$				
Hydropenia	$\Pi_{p}$	$\Pi_{i}$	Pc	$P_i$	$\sigma\Delta\Pi - \Delta$
Papilla tip (mean ± SEM)	$26.0 \pm 2.3$	$3.7 \pm 0.26$	$7.8 \pm 0.4$	$6.0 \pm 0.3$	13.8
Papilla base (mean ± SEM)	16.7 ± 1.3	$3.7 \pm 0.26$	$6.7 \pm 0.48$	$6.0 \pm 0.3$	8.4

The column headed  $\sigma\Delta\Pi = \Delta P$  lists values for the net Starling pressure favouring fluid absorption into the vessels. Data for cortical peritubular capillaries are based on four studies summarized by Ulfendahl and Wolgast. Data for ascending vasa recta of the renal medulla are from several laboratories reviewed by MacPhee and Michel. Data for ascending vasa recta of the renal medulla are from several laboratories reviewed by MacPhee and Michel.

К таблице: В колонке, озаглавленной σΔπ — ΔР, приведены значения чистого давления Старлинга, способствующего реабсорбции жидкости в сосуды. Данные о корковых перитубулярных капиллярах основаны на четырех исследованиях, обобщенных Ulfendahl и Wolgast. [37] Данные о восходящих прямых медулярных сосудах почки получены из нескольких лабораторий, проанализированных MacPhee и Michel [43] и Michel. [45]

# 7. Микроградиенты на выходе из пор и модель гликокаликса – межклеточные щели для непрерывных капилляров

### 7.1 Фенестрированные капилляры

Классический принцип Старлинга симметричен — предполагается, что увеличение  $\pi$  і оказывает такое же влияние на водообмен, как и уменьшение  $\pi$ р. Однако при исследовании фенестрированных капилляров в синовиальной оболочке, в ткани, которая выстилает суставные полости, оказалось, что это не так. Синовиальные капилляры расположены всего на несколько микрометров ниже высокопористой поверхности ткани, а небольшие скопления фенестров (1-2% поверхности) ориентированы в сторону полости сустава. Следовательно, для изменения  $\pi$  і можно использовать внутрисуставные инфузии альбумина, измеряя при этом изменение трансиновиального потока. [54] Когда реакцию изменения  $\pi$  і сравнивали с реакцией, вызванной изменениями  $\pi$ р после внутрисосудистой перфузии альбумина, наблюдалась заметная

асимметрия. Изменения в объемном  $\pi$ і оказывали примерно на треть большее влияние на водообмен, чем изменения в  $\pi$ р. Двумерная модель обмена синовиальной жидкости показала, что объяснение заключается в развитии градиентов концентрации альбумина в ISF (и, следовательно,  $\pi$ i) вокруг выходов из фенестральных скоплений, что подтверждается слабым перемешиванием ISF. [55] КОД (СОР) ISF, прилегающей к фенестрациям, было значительно ниже, чем в целом в ISF, поскольку ультрафильтрат, выходящий из отверстий, разбавляет непосредственно прилегающую ISF на несколько микрометров. Другими словами, ультрафильтрация плазмы создает "микроградиенты" концентрации белка в ISF (крутые градиенты на микрометровых расстояниях). Универсальность этих результатов еще предстоит проверить на других фенестрированных капиллярах.

#### 7.2 Непрерывные капилляры

### 7.2.1 Структура межклеточных путей

Асимметричное поведение еще более выражено в непрерывных капиллярах. Здесь основные пути для проведения жидкости проходят через эндотелиальные межклеточные щели. (В большинстве микрососудов аквапорины, содержащиеся в мембранах эндотелиальных клеток, обеспечивают ≤10% гидравлической проводимости, за исключением гематоэнцефалического барьера и, возможно, капилляров скелетных мышц. [56] Аквапорины играют важную роль при повышении внутритканевой осмолярности, например нисходящие прямые сосуды почки [57] и набухшая, «накачанная жидкостью» при физической нагрузке мышца.[30]) Ультраструктурные исследования показывают, что путь жидкости через межклеточную щель проходит по длинному, узкому, извилистому маршруту. [58-60] Суммарные периметры клеток на площади более  $1 \text{ cm}^2$ эндотелия (т.е. общая длина просвета входа в межклеточные щели в плоскость поверхности) составляет целых 12-20 м. Однако внутри межклеточных щелей 90% этой длины перекрыто соединительными нитями («плотные контакты», «tight junctions»). Жидкость поступает через разрывы в нитях, которые происходят с интервалом в 2-4 μm, причем длина каждого разрыва составляет всего 200-400nm (рис. 4А). Ширина межклеточных щелей на всем протяжении составляет 14-21nm; они не сужаются в местах соединения нитей. Следовательно, разрывы слишком широки для фильтрации белков плазмы (диаметр молекулы сывороточного альбумина 7,1nm). Отражающий белок элемент или система «мелких пор» имеет эффективный диаметр pprox8nm. [23,61 – 63] Частично основываясь на этих соображениях, Curry и Michel предположили, что ультрафильтрующие поры расположены в «волокнистой матрице» гликокаликса эндотелия, который перекрывает вход в межклеточные щели. Гликокаликс представляет собой сложную квазипериодическую сеть из цепей гликозаминогликанов (синдекан-1, глипикан и гиалуронан) и сиалогликопротеинов, простирающуюся на 60-570nm от поверхности эндотелия и покрывающую внутреннюю поверхность капилляров, включая вход в межклеточную щель и большинство отверстий.[65-68] Данные о том, что гликокаликс основной фактор, определяющий проницаемость капилляров, получены при оценке значительного увеличения Lp, когда гликокаликс-связывающие белки удаляются из капиллярного перфузата («белковый» эффект [69 — 72]) или когда компоненты гликокаликса удаляются путем ферментативного расщепления, [73,74] и из непосредственных наблюдений. [75] Исследования ферментативного расщепления также показывают, что гликокаликс опосредует вызванные сдвигом изменения в Lpd. [76] В дополнение к пути через гликокаликс-межклеточная щель для воды и мелких растворенных веществ, существует отдельная параллельная "система крупных пор", которая медленно транспортирует белки плазмы в интерстициальный компартмент. Эта система, как ни странно, содержит крупные (шириной ≥50 nm) поры и/или реализует везикулярный транспорт. [77-79]

#### 7.2.2 Различие КОД (СОР) по всем межклеточным путям

Michel [80] и Weinbaum [81] независимо друг от друга признали, что, поскольку путь для макромолекул, через непрерывный эндотелий, лежит параллельно основному пути для проведения жидкости (межклеточные щели), разница КОД (СОР) через сосудистый барьер больше не может быть рассчитана как  $\pi$ р минус  $\pi$ i. Разность в КОД (СОР), определяющая обмен жидкости, заключается в том, что жидкость проходит через полупроницаемый гликокаликс. Жидкость на просветной стороне гликокаликса отделяется от перикапиллярной ISF извилистым путем через межклеточные щели (рис. 4A), и поскольку на этом пути могут быть градиенты концентрации белка, уравнение (1c) следует записать в виде:

$$Jv/A = Lp\{(Pc - Pi) - \sigma(\pi p - \pi g)\}, (4)$$

где  $\pi_{
m g}$  – концентрация ультрафильтрата на нижней стороне гликокаликса. Уровень  $\pi_{
m g}$  может быть очень низким по двум причинам: о высок, а поток ультрафильтрата наружу препятствует равновесию диффузии белка между субгликокаликсной жидкостью и перикапиллярной ISF. Неравновесие диффузии значительно усугубляется структурой межклеточных щелей. По мере того, как ультрафильтрат проходит через узкие промежутки в межклеточных соединениях, скорость жидкости увеличивается по меньшей мере в 10 раз (рис. 4А), что препятствует обратной диффузии белков плазмы из ISF в капилляр.[60,80 – 82] Приблизительные расчеты показывают, что даже низкой скорости фильтрации жидкости, создаваемой разницей давлений в 1 смН₂О, достаточно, чтобы предотвратить уравновешивающую диффузию белка между субгликокаликсной жидкостью и перикапиллярной ISF на выходе из межклеточных щелей. [80,81] Вышеупомянутая концепция была преобразована в двумерную математическую модель Weinbaum с коллегами. [60,82] Модель предсказывает межклеточное движение жидкости через межклеточную щель, и концентрацию белка плазмы в субгликокаликсном пространстве для данного состава ISF. В зависимости от величины фильтрационного давления Рс модель предсказывает большие различия между концентрацией субгликокаликсного белка в плазме крови (следовательно,  $\pi$ g) и общей концентрацией белка в ISF (следовательно,  $\pi$ i); "соревнование" между диффузией вверх по потоку и вымыванием вниз по потоку, особенно в местах соединения клеток, может привести к концентрации субгликокаликсного белка, которая является ≈ 10% от Сі (рисунок 4А). В этих условиях  $\pi$ g настолько мал, что эффективная разница осмотического давления, препятствующая фильтрации жидкости, приближается к  $\pi$ р, а не к классическому показателю Старлинга  $\pi$ р –  $\pi$ і (рис. 2B). Это снижает базальный Jv до уровня, аналогичного скорости оттока лимфы, и, таким образом, помогает объяснить парадокс низкой фильтрационной силы.

## 7.2.3 Экспериментальные испытания двумерной модели гликокаликса-межклеточных щелей

Модель Weinbaum предсказывает, что изменения  $\pi$ і вокруг фильтрующего капилляра должны оказывать гораздо меньшее влияние на Jv, чем предсказывает классический принцип Старлинга [уравнение (1c)]. Противоречивые прогнозы были проверены Curry, Adamson с коллегами [60,83] с впечатляющими результатами (рис. 4B). Когда концентрация интерстициального альбумина вокруг быстро фильтрующих брыжеечных капилляров лягушки была повышена путем суперфузии до уровня, равного концентрации альбумина, поступающего через просвет капилляра ( $\pi$ p −  $\pi$ i = 0), скорость фильтрации практически не изменилась — результат, несовместимый с классическим принципом Старлинга, но согласующийся с моделью Weinbaum. [83] В окончательном исследовании на брыжеечных венулах крыс [60] было показано, что увеличение Jv, вызванное повышением  $\pi$ i с нуля до уровня в плазме, составило ≈ 20% от того, что предсказывалось классическим принципом Старлинга. Измерения фильтрации через эндотелий, в культуре сомкнутых клеток, в камере типа камеры Ussing также подтвердили модель гликокаликсамежклеточных щелей. [22]

# 7.2.4 Упрощенная одномерная модель, временные константы (постоянные времени) и аквапорины

Чтобы облегчить вычисления и изучение процессов, происходящих при реабсорбции жидкости в капилляры, Weinbaum и коллеги [84] разработали упрощенную одномерную модель, утверждая, что она легче справляется с различиями между градиентами внутри межклеточной щели и в окружающих тканях. Одномерная модель была использована для изучения перехода от нестабильной реабсорбции к низкому уровню фильтрации. Zhang et al. [21] утверждали, что отростки перицитов, охватывающих микрососуды, ускоряют переход от кратковременного (transient) к устойчивому (steady-state) состоянию обмена жидкостью, образуя «захваченные микродомены» жидкости вне сосудов. Они предполагают, что это явление объясняет быстрое развитие устойчивого (steady-state) состояния, о котором сообщили Michel и Phillips [20] и которое было подтверждено в их собственной лаборатории. [21] Возможно, что захваченные микродомены не ограничены пространствами под перицитами. Различные ткани имеют различную клеточную архитектуру, окружающую микрососуды, и это может способствовать значительным различиям в временных константах (постоянных времени) перехода от переходного (transient) состояния к устойчивому (steady-state). Временные константы (постоянные времени) также могут быть значительно увеличены, если путь воды через аквапорины вносит существенный вклад в микрососудистое Lp. Хотя Michel и Curry [56] пришли к выводу, что аквапорины составляют менее 10% Lp в большинстве микрососудов, Watson и Wolf [30 – 32] утверждают, что вклад аквапоринов в Lp в капиллярах скелетных мышц кошек может составлять 40-50%. Осмотическое давление, продвигающее воду через аквапорины, соответствует давлению капиллярной плазмы относительно осмотического давления ISF. Если аквапорины ответственны за 50% Lp, то после того, как началась реабсорбция жидкости после снижения Pc, реабсорбция должна продолжаться до тех пор, пока уменьшение объема ISF не приведет к достаточной концентрации белков в ISF для последующего повышения  $\Pi$ і и снижения  $\Delta\Pi$  ниже  $\Delta$ P. Это может занять час или больше, если рассчитывать с использованием типичных значений капиллярного давления и объема ISF в скелетных мышцах. Прежде чем рассматривать это как объяснение медленного развития стабильного (steady state) обмена жидкости в скелетных мышцах, следует рассмотреть второе следствие большого количества аквапоринового компонента в Lp. Поскольку разность осмотического давления на пути прохождения через аквапорин равна Пр минус среднее значение Пі в ISF (не Пg), скорость фильтрации жидкости должна быть относительно высокой, если Рс находится в пределах своего обычного диапазона (рис. 2A, правая панель). Таким образом, можно было бы ожидать интенсивной выработки лимфы в скелетных мышцах в состоянии покоя, в то время как лимфоток в скелетных мышцах в состоянии покоя настолько низок, что для получения образцов обычно необходимо массировать или пассивно напрягать мышцы. Для дальнейшего изучения вклада аквапоринов и вазомции в обмен жидкости в скелетных мышцах требуется исследования.

### 8. Клиническое значение: повышение проницаемости эндотелия и отек тканей.

Микрососудистый жидкостный обмен лежит в основе нескольких основных патофизиологических состояний. Сам Старлинг был знаком с кратковременной реабсорбцией ISF и сопутствующей гемодилюцией после острого эпизода гипотензии. Около 0,5 л ISF может всасываться в кровь человека в течение 15-30 минут, поддерживая сердечный выброс во время гипотензивного стресса. И наоборот, чрезмерная капиллярная фильтрация приводит к интерстициальному отеку — потенциально смертельному состоянию, когда оно поражает легкие. Отек может быть вызван аномальными силами Старлинга, повышенной проницаемостью эндотелия (например, воспаление) или нарушением лимфодренажа. [50] Биохимические процессы, опосредующие повышение проницаемости эндотелия, были недавно рассмотрены Mehta и Malik. [85] Здесь мы

рассмотрим влияние относительно небольших изменений свойств эндотелиальной мембраны на обмен жидкости. Относительно небольшое снижение барьерных свойств сосудов может привести к существенной патологии. Rippe и Haraldsson [86] указали, что уравнение (3) описывает обмен жидкости через мембрану с одинаковыми порами (такую, в которой все каналы, проводящие жидкость, имеют одинаковое гидравлическое сопротивление и молекулярно-фильтрующие свойства); в то время как эндотелий имеет по меньшей мере два пути для проведения жидкости: «мелкие поры» и «крупные поры», а также путь аквапорина в непрерывных капиллярах. По оценкам, в нормальных здоровых сосудах мелкие поры составляют не менее 95%, а крупные – не более 5% от общего объема капилляров в скелетных мышцах. [63,87] Используя эти значения и уравнении (3), мы построили кривые для стационарного (steady state) обмена жидкости (рис. 5A); см. Приложение. О моделях, которые также включают в себя аквапориновый путь с низкой проводимостью, см. Wolf [31] и Rippe et al. [88] Мы предположили, что радиус мелких пор равен 4nm, а радиус крупных пор равен 22,5nm. Поскольку крупные поры составляют всего 5% от общего объема, это эквивалентно 19000 мелких пор на каждую крупную пору. На рисунке 5А мы изобразили отдельные соотношения между Jv/A и ΔP для систем с мелкими и крупными порами и суммарный эффект. Увеличение проницаемости проще всего представить как увеличение числа крупных пор. На рисунке 5В показан эффект 10-кратного увеличения количества крупных пор без изменения количества мелких пор. Возникающее в результате этого повышение проницаемости напоминает то, что наблюдается при легком воспалении. [89] Увеличение общего уровня Lp составляет чуть более 50%, а общее снижение  $\sigma$  для сывороточного альбумина падает всего с 0,93 до 0,66. Если бы среднее давление в микрососудах оставалось неизменным и составляло чуть более 20 смН₂О, добавление девяти крупных пор на 19 000 мелких пор увеличило бы скорость фильтрации жидкости в пять раз. Также наблюдалось бы заметное увеличение концентрации белка в ISF. Влияние этого увеличения на Jv значительно усиливается повышением Рс, которое является результатом увеличения притока крови и расширения сосудов при воспалении. Если бы Рс повысился до 40 смН₂О (относительно небольшое увеличение), чистая фильтрация жидкости в ткани увеличилась бы в 17 раз (стрелка, рис. 5B). Гораздо большее увеличение Lp и снижение  $\sigma$ происходит во время первой фазы острого воспаления. [90-92] Однако изменения такой величины обычно кратковременны.

## 9. Достижения в области интерстициальной и лимфатической физиологии

Здесь мы ограничиваемся лишь кратким описанием достижений в понимании регуляции Рі и лимфатической системы. Во время острого воспаления Рі может первоначально снижаться независимо от микрососудистого обмена, что увеличивает начальную скорость образования локального отёка. [93] Предполагается, что соединительные ткани удерживаются в умеренном сжатии коллагеновыми фибриллами, которые связаны β1-интегрином с фибробластами и противостоят врожденной тенденции интерстиция к расширению (набуханию гликозаминогликанов). Отслоение фибрилл способствует снижению Рі до более низких значений. Подтверждающие данные включают снижение Рі после обработки тканей антителами к β1-интегрину. Активная роль лимфатических сосудов в выведении жидкости из периферических тканей была подтверждена исследованиями, электрофизиологии ионных каналов и исследованиями рук человека, [94,95] а сбой в работе лимфатической помпы был продемонстрирован при лимфатических отёках, связанных с раком молочной железы. [96] Достижения в понимании молекулярного и генетического контроля лимфангиогенеза способствовали пониманию процессов, лежащих в основе некоторых наследственных лимфатических отёков. [97,98]

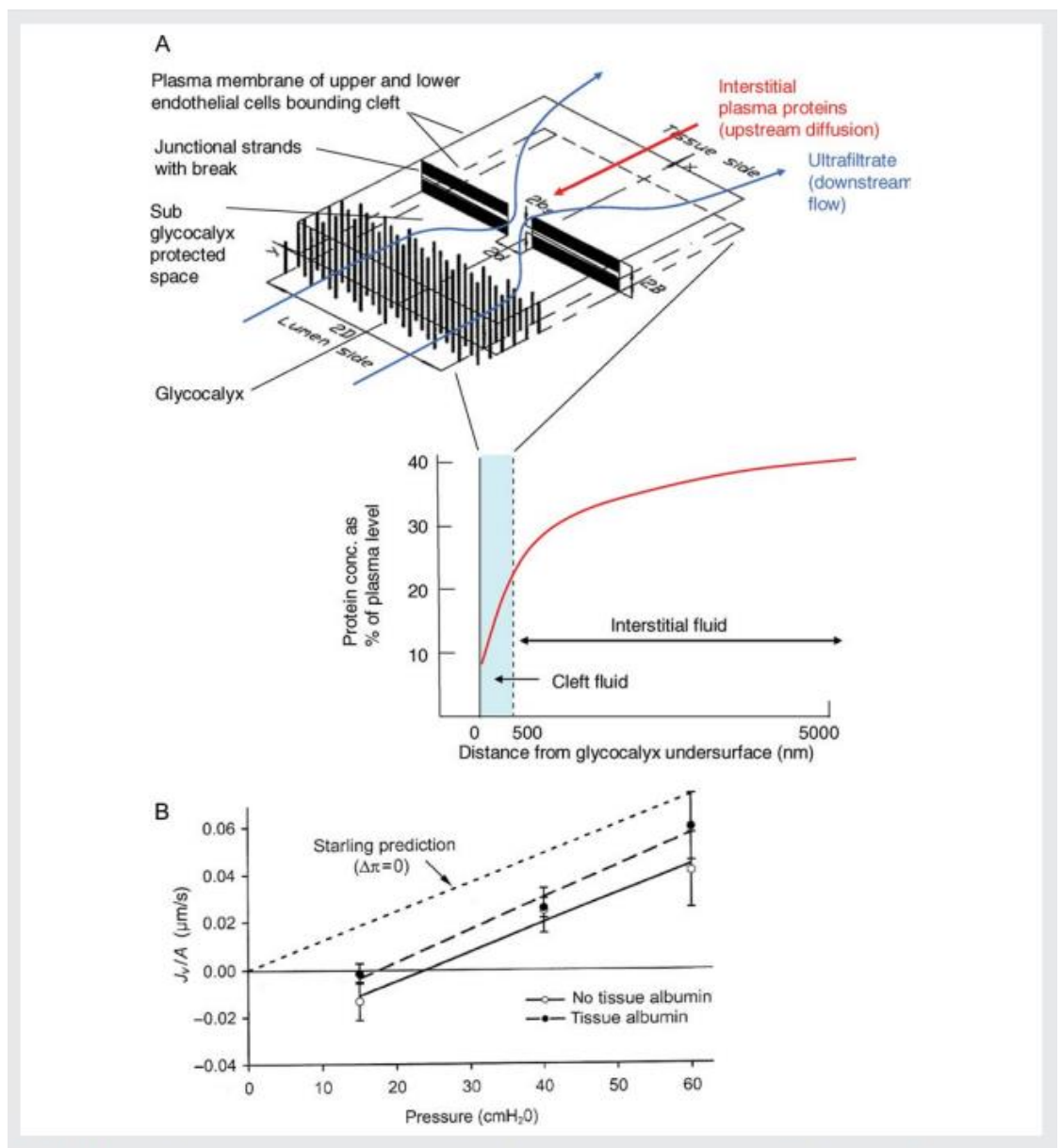


Figure 4 The two-dimensional glycocalyx-cleft model of capillary fluid exchange, and an experimental test of its predictions. (A) A mathematical model of the glycocalyx and intercellular cleft (top left). The semipermeable glycocalyx layer is modelled as a set of fine rods. Graph shows calculated gradient of plasma protein from interstitium to the 'protected' subglycocalyx space, in a continuous capillary when  $P_c > \Pi_p$ . The subglycocalyx space is protected from equilibration with the bulk ISF by the convergent stream of ultrafiltrate passing through the narrow orifice formed by breaks in the intercellular junctional strands. (B) Fluid exchange in single rat mesenteric venules at controlled microvascular pressure, measured by the modified Landis red cell method (transient state). The lumen was perfused with albumin solution and the exterior was superfused with saline ('no tissue albumin', open symbols;  $\Pi_p - \Pi_i = \Pi_p$ ) or the same albumin solution as in the lumen ('tissue albumin', filled symbols;  $\Pi_p - \Pi_i = 0$ ). Short dashes show the expected increase in filtration rate for the latter according to the classic Starling principle. The much smaller observed response was as predicted by the glycocalyx-cleft model. Steady-state results (data not shown) approximated to Eq. (3).

Рисунок 4. Двумерная модель обмена капиллярной жидкости между гликокаликсом и межклеточными щелями и экспериментальная проверка ее предсказаний. (А) Математическая модель гликокаликса и межклеточной щели (вверху слева). [82] Полупроницаемый слой гликокаликса смоделирован в виде набора тонких стержней. На графике показан рассчитанный градиент содержания белка плазмы крови от интерстиция к "защищенному" субгликокаликсному пространству в непрерывном капилляре при использовании  $Pc > \pi$ р. Субгликокаликсное пространство защищено от уравновешивания с основной массой ISF сходящимся потоком ультрафильтрата, проходящего через узкое отверстие, образованное разрывами в межклеточных соединительных нитях. (В) Обмен жидкости в отдельных брыжеечных венулах крысы при контролируемом микрососудистом давлении, измеренном модифицированным методом красных клеток Landis (переходное состояние). Просвет перфузировали раствором альбумина, а снаружи поверх него заливали физиологический раствор ("без тканевого альбумина", незакрашенные кружки;  $\pi$ p —  $\pi$ i =  $\pi$ p) или тот же раствор альбумина, что и в просвете ("тканевый альбумин", закрашенные кружки;  $\pi$ p —  $\pi$ i =  $\pi$ p). Короткие штрихи показывают ожидаемое увеличение скорости фильтрации в соответствии с классическим принципом Старлинга. Наблюдаемый отклик был значительно меньше, чем предсказывалось в модели гликокаликса—межклеточных щелей. Результаты для стационарного состояния (данные не показаны) приближены к уравнению (3).

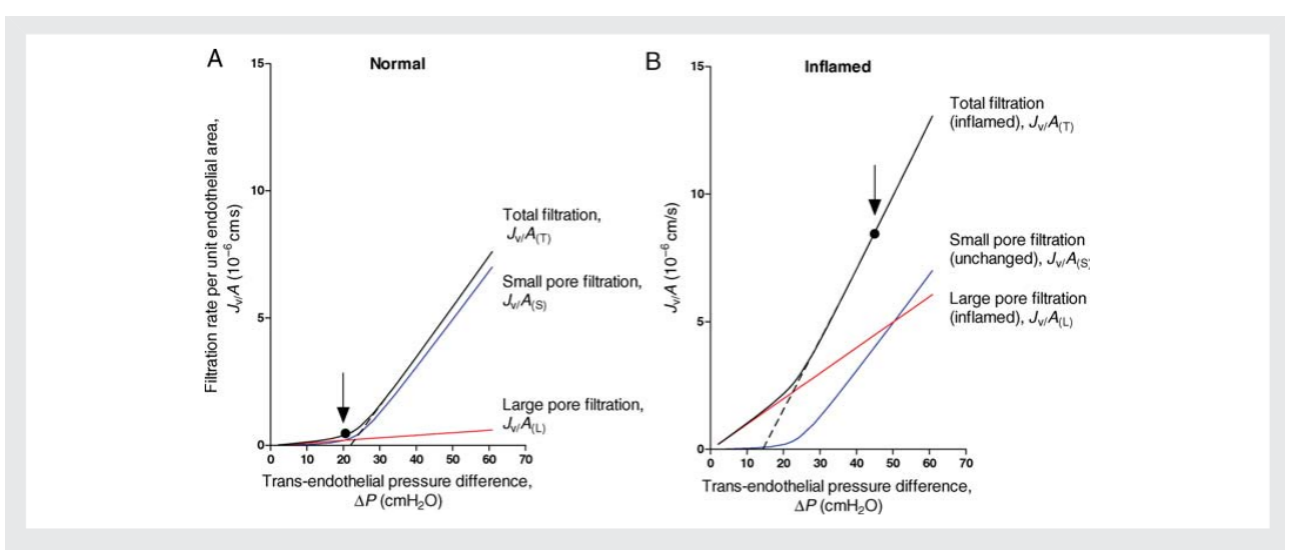


Figure 5 Steady-state fluid exchange simulated for a post-capillary venule, with the fluid-conducting pathways modelled as parallel small pore and large pore populations; effect of inflammation. (A) Basal low permeability state; 95% of the hydraulic conductance is represented by the small pores (radius = 4 nm; blue curve) and 5% by large pores (radius = 22.5 nm; red curve). The black solid curve shows the total fluid exchange (sum of red and blue lines) at varying values of  $P_c$  (see Appendix, end of this article). The vessel is perfused with a Ringer solution containing serum albumin ( $\Pi_p = 25 \text{ cmH}_2\text{O}$ ).  $P_i$  is assumed to be constant and aquaporin pathway negligible ( $\leq$ 10% of total conductance). B. Steady-state fluid exchange when permeability has been increased in the same vessel. The red curve represents flow through the large pore system after inflammation has increased the number of large pores 10-fold. The small pore population is unchanged. The dashed lines are extrapolations of the linear parts of the steady-state summed relations to the pressure axis, where their intersection gives the value of the effective COP opposing fluid filtration (reduced in inflammation). Vertical arrows show typical values of microvascular pressure under basal conditions (A) and in mild inflammation (B). The rise in pressure contributes importantly to the dramatic 17-fold increase in filtration rate.

Puc. 5. Моделирование стационарного (steady state) обмена жидкости в посткапиллярной венуле с путями, проводящими жидкость, в виде параллельных популяций мелких и крупных пор; эффект воспаления. (А) Исходное состояние с низкой проницаемостью; 95% гидравлической проводимости представлено мелкими порами (радиус = 4 nm; синяя кривая) и 5% – крупными порами (радиус =22,5 nm; красная кривая). Сплошная черная кривая показывает общий обмен жидкости (сумма красных и синих линий) при различных значениях Рс (см. Приложение в конце этой статьи). В сосуд вводят раствор Рингера, содержащий сывороточный альбумин (Пр = 25 смH₂O). Предполагается, что Рі является постоянной величиной, а путь прохождения через аквапорины незначителен (≤10% от общей проводимости). В. Постоянный (steady state) обмен жидкости, когда проницаемость в том же сосуде повышена. Красная кривая показывает поток через систему крупных пор после того, как воспаление увеличило количество крупных пор в  $10\,$ раз. Количество мелких пор не изменилось. Пунктирные линии представляют собой экстраполяцию линейных частей стационарных (steady state) суммированных соотношений на ось давления, где их пересечение дает значение эффективного КОД (СОР) противодействующего фильтрации жидкости (снижение при воспламенении). Вертикальными стрелками показаны типичные значения микрососудистого давления в исходных условиях (А) и при легком воспалении (В). Повышение давления в значительной степени способствует резкому, в 17 раз, увеличению скорости фильтрации.

## 10. Краткое изложение и направления на будущее

КОД (СОР), влияющее на фильтрацию как по фенестрированным, так и по сплошным капиллярам, действуют через эндотелиальный гликокаликс; осмотическое давление ISF напрямую не определяет трансэндотелиальный обмен жидкостью. Имеются убедительные доказательства того, что, за важными исключениями, такими как корковое и мозговое вещество почек, нижележащие микрососуды не находятся в состоянии устойчивой реабсорбции жидкости, как это традиционно изображается. Несмотря на то, что традиционное представление о балансе фильтрации и

реабсорбции упорно утверждается в учебниках и учебных пособиях, оно имеет мало оснований для изучения микроциркуляции в большинстве тканей. Таким образом, баланс тканевой жидкости критически зависит от функции лимфатической системы в большинстве тканей. Делая эти убедительные заявления, мы помним о замечании William Harvey в его классическом труде «De Motu Cordis» (1628): «Я боюсь, как бы человечество не стало моим врагом, настолько многие привычки и обычаи стали моей второй натурой. Доктрина, однажды посеянная, пускает глубокие корни, и уважение к древности влияет на всех людей». [99] Мы хотели бы подчеркнуть, что, несмотря на вышеупомянутые достижения, многое остается неизвестным. Процесс реабсорбции жидкости в кровоток требует более детального изучения в более широком диапазоне тканей; и соответствующая микроструктура трансэндотелиальных путей нуждается в более точном определении, включая оценку вклада аквапорина в общий уровень Lp в микрососудах, который, по-видимому, значительно варьируется. Необходимо изучить структуру и состав гликокаликса в области фенестров и межклеточных щелей. Понимание регуляции синтеза и обмена гликокаликса может привести к разработке новых терапевтических стратегий для снижения патологически повышенной проницаемости. Стоит также подчеркнуть, что о природе фенестральных диафрагм известно очень мало; и что классическая проблема переноса макромолекул через эндотелий (крупные поры или везикулы) остается нерешенной спустя 50 лет после того, как она впервые стала предметом споров. Генетически модифицированные мыши предлагают многообещающий подход к решению некоторых из этих проблем. [79,98]

#### Признание

Мы приносим извинения многим авторам, которые внесли значительный вклад в эту область и чьи работы не были процитированы из-за нехватки места.

### Приложение: двухпористая модель, использованная для создания рисунка 5

Метод был описан Rippe и Haraldssson, [63,87], где стенка капилляра моделируется как непроницаемая мембрана толщиной  $\Delta x$ , пронизанная двумя наборами цилиндрических пор — мелкими порами радиусом 4 nm и крупными порами радиусом 22,5 nm. Размер Lp был выбран равным  $2\times10^{-7}$  cm s<sup>-1</sup>H<sub>2</sub>O<sup>-1</sup> (типичный для брыжеечной венулы крысы), 95% которого приходилось на мелкие поры и 5% - на крупные. Таким образом, для мелких пор Lp(S) =  $1,9\times10^{-7}$  cm s<sup>-1</sup> cmH<sub>2</sub>O<sup>-1</sup> и для крупных пор Lp(L) =  $0,1\times10^{-7}$  cm s<sup>-1</sup> cmH<sub>2</sub>O<sup>-1</sup>, а общая гидравлическая проводимость составляет

$$L_{p}(\text{overall}) = L_{p(S)} + L_{p(L)}$$
 (A1)

Теория пор (например, Curry[100]) определяет Lp совокупности пор постоянного радиуса (r) в понятиях закона Пуазейля, т.е.

$$L_{p} = \frac{\pi r^{4} N}{\Delta x 8 \eta}$$
 (A2)

где N - количество пор на единицу площади мембраны, а  $\eta$ - вязкость жидкости внутри пор. Таким образом, задав значения для Lp(S) и Lp(L) и радиусов пор, мы определили значения  $N_S/\Delta x$  и  $N_L/\Delta x$ , отношения количества мелких и крупных пор к их длине. Коэффициент распределения  $\lambda$  и коэффициент отражения  $\sigma$  для каждого набора пор для конкретного растворенного вещества зависят от отношения молекулярного радиуса (а) к радиусу пор. Они были рассчитаны по следующим выражениям:

$$\lambda = \left(1 - \frac{a}{r}\right)^2 \tag{A3}$$

и

$$\sigma = (1 - \lambda)^2 \tag{A4}$$

Наконец, диффузионная проницаемость р растворенного вещества для каждого набора пор связана с коэффициентом диффузии растворенного вещества в водном растворе D и является функцией, зависящей от (a/r):

$$p = \frac{\pi r^2 N}{\Delta x} \lambda Df(a/r)$$
 (A5)

где

$$f\left(\frac{a}{r}\right) = 1 - 2.1\left(\frac{a}{r}\right) + 2.09\left(\frac{a}{r}\right)^3 - 0.95\left(\frac{a}{r}\right)^5 \cdots$$
 (A6)

Уравнения (A1)—(A6) были использованы для оценки значений Lp,  $\sigma$  и p для сывороточного альбумина в каждой популяции пор, предполагая, что диаметр пор составляет а = 3,6 nm для альбумина. Уравнение (3) было изменено в виде

$$\Delta P = \frac{J_V/A}{L_p} + \sigma^2 \Pi_p \frac{(1 - e^{-Pe})}{(1 - \sigma \cdot e^{-Pe})}$$
(A7)

при соответствующих значениях Lp,  $\sigma$  и p уравнение (A7) использовалось для определения значений  $\Delta P$  для диапазона значений Jv/A для мелких и крупных пор. Значения Jv/A при одинаковом  $\Delta P$  для мелких и крупных пор были суммированы, чтобы получить общее значение Jv/A для единицы площади стенки сосуда (рис. 5A). Выражение повторили для рисунка 5В. Здесь вклад Lp(s) оставался постоянным и составлял $1.9 \times 10^{-7}$  см  $s^{-1}$  см $H_2O^{-1}$ , а Lp(L) был увеличен в 10 раз, что лишь незначительно повысило общий Lp c 2.0 до  $(1.9 + 1.0) = 2.9 \times 10^{-7}$  см  $s^{-1}$  см $H_2O^{-1}$ .

### Список литературы

#### References

- 1. Adair TH, Guyton AC. Modification of lymph by lymph nodes. II. Effect of increased lymph node venous blood pressure. Am J Physiol 1983;245:H616–H622.
- 2. Knox P, Pflug JJ. The effect of the canine popliteal node on the composition of lymph. J Physiol 1983;345:1–14.
- 3. Renkin EM. Some consequences of capillary permeability to macromolecules; Starling's hypothesis reconsidered. Am J Physiol 1986;250:H706–H710.
- 4. Starling EH. On the absorption of fluids from the connective tissue spaces. J Physiol 1896;19:312–326.
- 5. Staverman AJ. The theory of measurement of osmotic pressure. Rec Trav Chim 1951; 70:344–352.
- 6. Kedem O, Katchalsky A. Thermodynamic analysis of the permeability of biological membranes to non-electrolytes. Biochim Biophys Acta 1958;27:229–245.
- 7. Landis EM. Micro-injection studies of capillary permeability. II. The relation between capillary pressure and the rate at which fluid passes through the walls of single capillaries. Am J Physiol 1927;82:217–238.
- 8. Pappenheimer JR, Soto-Rivera A. Effective osmotic pressure of the plasma proteins and other quantities associated with the capillary circulation in the hind-limbs of cats and dogs. Am J Physiol 1948;152:471–491.
- 9. Landis EM. Micro-injection studies of capillary blood pressure in human skin. Heart 1930;30:209–228. 10. Levick JR, Michel CC. The effects of position and skin temperature on the capillary pressures in the fingers and toes. J Physiol 1978;274:97–109

- 11. Williams SA, Wasserman S, Rawlinson DW, Kitney RI, Smaje LH, Tooke JE. Dynamic measurement of human capillary blood pressure. Clin Sci 1988;74:507–512.
- 12. Starling EH. The production and absorption of lymph. In: Scha fer EA, ed. Textbook of Physiology. Vol. 1. Young J Pentland: Edinburgh; 1898. p285–p311.
- 13. Landis EM, Pappenheimer JR. Exchange of substances through the capillary walls. In: Hamilton WF, Dow P, eds. Handbook of Physiology, Section 2: Circulation II. Washington, DC: American Physiological Society; 1963. p961–1034.
- 14. Guyton AC, Granger HJ, Taylor AE. Interstitial fluid pressure. Physiol Rev 1971;51: 527–563.
- 15. Levick JR. An Introduction to Cardiovascular Physiology. 5th ed (Chapters 9, 10, 11). London: Hodder-Arnold; 2010.
- 16. Zweifach BW, Intaglietta M. Mechanics of fluid movement across single capillaries in the rabbit. Microvasc Res 1968;1:83–101.
- 17. Mahy IR, Tooke JR, Shore AC. Capillary pressure during and after incremental venous elevation in man. J Physiol 1995;485:213–219.
- 18. Bates DO, Levick JR, Mortimer PS. Starling pressure imbalance in the human arm and alteration in postmastectomy oedema. J Physiol 1994;477:355–363.
- 19. Levick JR. Capillary filtration-absorption balance reconsidered in light of dynamic extravascular factors. Exp Physiol 1991;76:825–857.
- 20. Michel CC, Phillips ME. Steady-state fluid filtration at different capillary pressures in perfused frog mesenteric capillaries. J Physiol 1987;388:421–435.
- 21. Zhang X, Adamson RH, Curry FE, Weinbaum S. Transient regulation of transport by pericytes in venular microvessels via trapped microdomains. Proc Natl Acad Sci USA 2008;105:1374–1379.
- 22. Pang Z, Tarbell JM. In vitro study of Starling's hypothesis in a cultured monolayer of bovine aortic endothelial cells. J Vasc Res 2003;40:351–358.
- 23. Taylor AE, Granger DN. Exchange of macromolecules across the microcirculation. In: Renkin EM, Michel CC, eds. Handbook of Physiology, Section 2: The Cardiovascular System, Vol. IV: The Microcirculation. American Physiological Society; 1984. p467–520.
- 24. Renkin EM, Joyner WL, Sloop CH, Watson PD. Influence of venous pressure on plasma-lymph transport in the dog's paw: convective and dissipative mechanisms. Microvasc Res 1977;14:191–204.
- 25. Cohnheim J. Lectures on General Pathology. Vol. 1: The Circulation. New Sydenham Edition; 1889. p515.
- 26. Taylor AE, Townsley MI. Evaluation of the Starling fluid flux equation. News Physiol Sci 1987;2:48–52.
- 27. Michel CC. Fluid movement through capillary walls. In: Renkin EM, Michel CC, eds. Handbook of Physiology, Section 2: The Cardiovascular System, Vol. IV: The Microcirculation. Bethesda: American Physiological Society; 1984. p375–409.
- 28. Guyton AC, Lindsey AW. Effect of elevated left atrial pressure and decreased plasma protein concentration on the development of pulmonary oedema. Circ Res 1959;7: 649–657.
- 29. Landis EM Gibbon JH. The effect of temperature and tissue pressure on the movement of fluid through the human capillary wall. J Clin Invest 1933;12:105–138.
- 30. Wolf MB, Watson PD. Measurement of the osmotic reflection coefficient for small molecules in cat hindlimb. Am J Physiol 1989;256:H282–H290.
- 31. Wolf MB. Determination of the magnitude of the water-exclusive pathway in cat skeletal muscle microvasculature. Microcirculation 1996;3:59–73.
- 32. Wolf MB. A three-pathway pore model describes extensive data from mammalian microvascular beds and frog microvessels. Microcirculation 2002;6:497–511.
- 33. Gore RW, Bohlen HG. Microvascular pressures in rat intestinal muscle and mucosal villi. Am J Physiol 1978;233:H685–H693.
- 34. Granger DN, Taylor AE. Effects of solute-coupled transport on lymph flow and oncotic pressure in cat ileum. Am J Physiol 1978;235:E429–E436.
- 35. Granger DN, Mortillaro NA, Kvietys PR, Rutili G, Taylor AE. Role of the interstitial matrix during intestinal volume absorption. Am J Physiol 1980;238:G183–G189.
- 36. Pappenheimer JR, Michel CC. Role of villus microcirculation in intestinal absorption of glucose; coupling of epithelial with endothelial transport. J Physiol 2003;553: 561–574.

- 37. Ulfendahl HR, Wolgast M. Renal circulation and lymphatics. In: Seldin DW, Giebisch G, eds. The Kidney: Physiology and Pathophysiology. New York: Raven Press Ltd; 1992. p1017–1047.
- 38. Lassen NA, Longley JB, Lilienfield L. Concentration of albumin in renal papilla. Science 1958;128:720–721.
- 39. Williams MMM, Moffat DB, Creasy M. The effect of antidiuretic hormone on the permeability of the vessels of the renal medulla of the rat during water diuresis. Q J Exp Physiol 1971;56:250–256.
- 40. Venkatachalam MA, Karnovsky MJ. Extravascular protein in the kidney: an ultrastrucutural study of its relation to renal peritubular capillary permeability using protein tracers. Lab Invest 1972;27:435–444.
- 41. Schmidt-Nielsen B. The renal pelvis. Kidney Int 1987;31:621-628.
- 42. Tenstad O, Heyeraas KJ, Wiig H, Aukland K. Drainage of plasma proteins from the renal medullary interstitium in rats. J Physiol 2001;536:533–539.
- 43. MacPhee PJ, Michel CC. Fluid uptake from the renal medulla into the ascending vasa recta in anaesthetized rats. J Physiol 1995b;487:169–183.
- 44. Pallone TL. Molecular sieving of albumin by the ascending vasa recta wall. J Clin Invest 1992;90:30–34..
- 45. Michel CC. Renal medullary microcirculation: architecture and exchange. Microcirculation 1995;2:125–139.
- 46. Wang W, Michel CC. Modeling the exchange of plasma protein between the microcirculation and the interstitium of the renal medulla. Am J Physiol Renal Physiol 2000; 279:F333–F344.
- 47. Zhang W, Edwards A. Transport of plasma proteins across the vasa recta in the renal medulla. Am J Physiol Renal Physiol 2001;281:F478–F492.
- 48. MacPhee PJ, Michel CC. Sub-atmospheric closing pressures in individual microvessels in rats and frogs. J Physiol 1995a;484:183–187.
- 49. Takahashi-Iwanaga H. Three dimensional cytoarchitecture of the interstitial tissue in the rat kidney. Cell Tissue Res 1991;264:269–281.
- 50. Mortimer PS, Levick JR. Chronic peripheral oedema: the critical role of the lymphatic system. Clin Med 2004;4:448–453.
- 51. Aukland K, Reed RK. Interstitial-lymphatic mechanisms in the control of extracellular fluid volume. Physiol Rev 1993;73:1–78.
- 52. Chambers R, Zweifach BW. Intercellular cement and capillary permeability. Physiol Rev 1947;27:436–463.
- 53. Intaglietta M, Endrich B. Experimental and quantitative analysis of microcirculatory water exchange. Acta Physiol Scand Suppl 1979;463:59–66.
- 54. McDonald JN, Levick JR. Effect of extravascular plasma protein on pressure-flow relations across synovium in anaesthetized rabbits. J Physiol 1993;465:539–559.
- 55. Levick JR. An analysis of the interaction between extravascular plasma protein, interstitial flow and capillary filtration; application to synovium. Microvasc Res 1994;47: 90–125.
- 56. Michel CC, Curry FE. Microvascular permeability. Physiol Rev 1999;79:703–761.
- 57. Pallone TL, Kishore BK, Nielsen S, Agre P, Knepper M. Evidence that aquaporin-1 mediates NaCl induced water flux across descending vasa recta. Am J Physiol 1997;272:F587–F596.
- 58. Wissig SL, Williams MC. The permeability of muscle capillaries to microperoxidase. J Cell Biol 1978;76:341–359.
- 59. Adamson RH, Michel CC. Pathways through the intercellular clefts of frog mesenteric capillaries. J Physiol 1993;466:303–327.
- 60. Adamson RH, Lenz JF, Zhang X, Adamson GN, Weinbaum S, Curry FE. Oncotic pressures opposing filtration across non-fenestrated rat microvessels. J Physiol 2004;557:889–908.
- 61. Pappenheimer JR, Renkin EM, Borrero LM. Filtration, diffusion and molecular sieving through peripheral capillary membranes. A contribution to the pore theory of capillary permeability. Am J Physiol 1951;167:13–46.
- 62. Renkin EM. Multiple pathways of capillary permeability. Circ Res 1977;41:735–743.
- 63. Rippe B, Haraldsson B. Transport of macromolecules across microvascular walls: the two-pore theory. Physiol Rev 1994;74:163–219.
- 64. Curry FE, Michel CC. A fibre-matrix model of capillary permeability. Microvasc Res 1980;20:96–99.

- 65. Rostgaard J, Qvortrup K. Electron microscopic demonstrations of filamentous molecular sieve plugs in capillary fenestrae. Microvasc Res 1997;53:1–13.
- 66. Squire JM, Chew M, Nnedji G, Neal C, Barry J, Michel CC. Quasi-periodic substructure in the microvessel endothelial glycocalyx: a possible explanation for molecular filtering? J Struct Biol 2001;136:239–255.
- 67. Reitsma S, Slaaf DW, Vink H, van Zandvoort, oude Egbrink MG. The endothelial glycocalyx: composition, functions and visualization. Pflu gers Arch 2007;254:345–359.
- 68. Weinbaum S, Tarbell JM, Damiano ER. The structure and function of the endothelial glycocalyx layer. Ann Rev Biomed Eng 2007;9:121–167.
- 69. Levick JR, Michel CC. The effect of bovine serum albumin on the permeability of frog mesenteric capillaries. Quart J Exp Physiol 1973;58:87–97.
- 70. Turner MR, Clough G, Michel CC. The effects of cationized ferritin and native ferritin upon the filtration coefficient of single frog capillaries. Evidence that proteins in the endothelial cell coat influence permeability. Microvasc Res 1983;25:205–222.
- 71. Schneeberger EE, Hamelin M. Interaction of serum proteins with lung endothelial glycocalyx: its effect on endothelial permeability. Am J Physiol 1984;247:H206–H217.
- 72. Powers MR, Blumenstock FA, Cooper JA, Malik AB. Role of albumin arginyl sites in albumin-induced reduction of endothelial hydraulic conductivity. J Cell Physiol 1989; 141:558–564.
- 73. Adamson RH. Permeability of frog mesenteric capillaries after partial pronase digestion of the endothelial glycocalyx. J Physiol 1990;428:1–13.
- 74. Henry CBC, Duling BR. Permeation of the luminal capillary glycocalyx is determined by hyaluronan. Am J Physiol 1999;277:H508–H514.
- 75. Vink H, Duling BR. Identification of distinct luminal domains for macromolecules, erythrocytes and leukocytes within mammalian capillaries. Circ Res 1996;79: 581–589.
- 76. Lopez-Quintero SV, Amaya R, Pahakis M, Tarbell JM. The endothelial glycocalyx mediates shear-induced changes in hydraulic conductivity. Am J Physiol 2009;296: H1451–H1456.
- 77. Bruns RR, Palade GE. Studies on blood capillaries. II. Transport of ferritin molecules across the wall of muscle capillaries. J Cell Biol 1968;37:277–299.
- 78. Clough G, Michel CC. The role of vesicles in the transport of ferritin through frog endothelium. J Physiol 1981;315:127–142.
- 79. Rosengren B-I, Rippe A, Rippe C, Venturoli D, Sward K, Rippe B. Transvascular protein transport in mice lacking endothelial caveolae. Am J Physiol 2006;291: H1371–H1377.
- 80. Michel CC. Starling: The formulation of his hypothesis of microvascular fluid exchange its significance after 100 years. Exp Physiol 1997;82:1–30.
- 81. Weinbaum S. 1997 Whittaker distinguished lecture: Models to solve mysteries in biomechanics at a cellular level; a new view of fibre matrix layers. Ann Biomed Eng 1998;26:1–17.
- 82. Hu X, Weinbaum S. A new view of Starling's hypothesis at the microstructural level. Microvasc Res 1999;58:281–304.
- 83. Hu X, Adamson RH, Liu B, Curry FE, Weinbaum S. Starling forces that oppose filtration after tissue oncotic pressure is increased. Am J Physiol 2000;279: H1724–H1736.
- 84. Zhang X, Adamson RH, Curry FE, Weinbaum S. A 1-D model to explore the effects of tissue loading and tissue concentration gradients in the revised Starling principle. Am J Physiol 2007;291:H2950–H2964.
- 85. Mehta D, Malik AB. Signaling mechanisms regulating endothelial permeability. Physiol Rev 2006;86:279–367.
- 86. Rippe B, Haraldsson B. On the steady-state relationship between the microvascular hydrostatic pressure and the transvascular filtration rate. Effects of heteroporosity. Acta Physiol Scand 1987;129:441–442.
- 87. Rippe B, Haraldsson B. Fluid and protein fluxes across the microvasculature. Application of two-pore equations. Acta Physiol Scand 1987;131:411–428.
- 88. Rippe B, Rosengren B-I, Venturoli D. The peritoneal microcirculation in peritoneal dialysis. Microcirculation 2001;8:303–320.
- 89. Michel CC, Kendall S. Differing effects of histamine and serotonin on microvascular permeability in anaesthetized rats. J Physiol 1997;501:657–662.

- 90. Bates DO, Curry FE. Vascular endothelial growth factor increases hydraulic conductivity of isolate perfused microvessels. Am J Physiol 1996;271:H2520–H2528.
- 91. Adamson RH, Zeng M, Adamson GN, Lenz JF, Curry FE. PAF- and bradykinin-induced hyperpermeability of rat venules is independent of actin-myosin contraction. Am J Physiol 2003;285:H406–H417.
- 92. Pocock TM, Foster RR, Bates DO. Evidence of a role for TRPC channels in VEGF mediated increased microvascular permeability in vivo. Am J Physiol 2004;286: H1015–H1026.
- 93. Wiig H, Rubin K, Reed RK. New and active role of the interstitium in control of interstitial fluid pressure: potential therapeutic consequences. Acta Anaesth Scand 2003;47:111–121.
- 94. Levick JR, McHale N. Physiology of lymph production and propulsion. In: Browse N, Burnand K, Mortimer PS, eds. Diseases of the Lymphatics. London: Edward Arnold; 2003. p44–64.
- 95. Zawieja D. Lymphatic biology and the microcirculation: past, present and future. Microcirculation 2005;12:141–150.
- 96. Stanton AWB, Modi S, Mellor RH, Levick JR, Mortimer PS. Recent advances in breast cancer-related lymphoedema of the arm: lymphatic pump failure and predisposing factors. Lymphatic Res Biol 2009;7:29–45.
- 97. Alitalo K, Tammela T, Petrova T. Lymphangiogenesis in development and human disease. Nature 2005;438:946–953.
- 98. Karlsen TV, Karkkainen MJ, Alitalo K, Wiig H. Transcapillary fluid balance consequences of missing initial lymphatics studied in a mouse model of primary lymphoedema. J Physiol 2006;574:583–596.
- 99. Harvey W. On the motion of the Heart and Blood in Animals (trans. by R. Willis). Buffalo, New York: Prometheus Books; 1993.
- 100. Curry FE. Mechanics and thermodynamics of transcapillary exchange. In: Renkin EM, Michel CC, eds. Handbook of Physiology, Section 2: The Cardiovascular Sysytem, Vol. 4: Microcirculation. Chapter 8. Bethesda, MD: American Physiological Society; 1984. p309–374